

# تعیین مشخصات سازه با استفاده از پارامترهای مodal سازه و به کارگیری الگوریتم های بهینه سازی: زنتیک، اجتماع ذرات و آموزش و یادگیری

شهاب امانت (کارشناس ارشد)

دانشکده هندسی عمران، دانشکدان فنی دانشگاه تهران، تهران

حامد خوازی (دانشجوی دکتری)

دانشکده هندسی عمران، دانشگاه صنعتی شریف

مریم بیطوف \* (استادیار)

دانشکده هندسی عمران، دانشکدان فنی دانشگاه تهران، تهران

مهمنگی: عمان شریف، (ایران ۳۱۴۰) دری ۵۰، شماره ۳، صص ۱۷-۲۸، پژوهشی

در پژوهش حاضر، به مقایسه دقت و سرعت همگرایی روش های فرالبتکاری مختلف در تعیین سختی المان های سازه با استفاده از پارامترهای modal سازه و تعریف یکتابع هدف مناسب پرداخته شده است. بدین منظور، دو قاب یک بعدی ۳ طبقه و ۶ طبقه و یک خرپای دو بعدی بررسی شده اند. روش های فرالبتکاری، شامل: بهینه سازی زنتیک، اجتماع ذرات، و آموزش و یادگیری است. تابع هدف، حاصل جمع دو عبارت توان دوم اختلاف بسامد اول سازه بررسی شده با بسامد اول سازه حاصل از ماتریس سختی فرضی در هر نسل و اندازه های بردار اختلاف شکل مودی اول سازه مذکور و سازه حاصل از ماتریس سختی فرضی در هر نسل است. در الگوریتم های فرالبتکاری استفاده شده، با کمینه سازی مقدار تابع هدف، مقدار سختی المان های سازه ها به دست آمده است، که کارایی بالای روش های فرالبتکاری را در تعیین مشخصات مجھول سازه ها نشان می دهد. نتایج نشان می دهند که الگوریتم آموزش و یادگیری، بیشترین سرعت همگرایی و کمترین خطای نسبت به سایر الگوریتم ها داشته است. الگوریتم اجتماع ذرات، سرعت و خطای قابل قبولی را نشان داده است. میزان خطای الگوریتم زنتیک در مقایسه با دو الگوریتم دیگر قابل توجه بوده است.

واژگان کلیدی: پایش سلامت سازه ها، الگوریتم زنتیک، الگوریتم اجتماع ذرات، الگوریتم آموزش و یادگیری.

## ۱. مقدمه

احتمالی سازه در طول دوره برداری، بسیار قابل توجه است. این امر سبب شده است که مقاومت پایش سلامت سازه ها در چندین دهه گذشته مورد توجه بسیاری از پژوهشگران قرار گیرد و نوشتارهای متعددی،<sup>[۱]</sup> در این زمینه ارائه شود. مطالعات موجود در ادبیات فنی، پایش سلامت سازه ها را به سه گروه کلی، شامل: بررسی مدل های عددی<sup>[۲]</sup> [۳] مدل های آزمایشگاهی<sup>[۴]</sup> [۵] و عملیاتی یک سازه<sup>[۶]</sup> [۷] وجود عدم قطعیت ها و موقع برخی از خطاهای در طراحی و یا در حین اجرا اجتناب ناپذیر است. در نتیجه، به منظور کاهش خسارت های جانی و هزینه های نگهداری و همچنین افزایش عمر برداری سازه، اهمیت کنترل و تحلیل آسیب

گشتش جمعیت و توسعه روزافزون فناوری، بشر را به سمت احداث زیرساخت های عمرانی متعددی، نظری ساختمان های بلند مرتبه، پل ها، سدها و غیره سوق داده است. زیرساخت های عمرانی ممکن است به مرور زمان در اثر بلاهای طبیعی و غیرطبیعی، مانند زلزله، باد، بار ترافیکی، و غیره دچار آسیب شوند. همچنین وجود عدم قطعیت ها و موقع برخی از خطاهای در طراحی و یا در حین اجرا اجتناب ناپذیر است. در نتیجه، به منظور کاهش خسارت های جانی و هزینه های نگهداری و همچنین افزایش عمر برداری سازه، اهمیت کنترل و تحلیل آسیب

\* نویسنده مسئول  
تاریخ: دریافت ۷/۱۰/۲۰۲۳، اصلاحیه ۸/۵/۲۰۱۴، پذیرش ۲۸/۳/۲۰۱۴.

استناد به این مقاله:

امانت، شهاب، خوازی، حامد، و بیطوف، مریم، ۱۴۰۳. تعیین مشخصات سازه با استفاده از پارامترهای modal سازه و به کارگیری الگوریتم های بهینه سازی: زنتیک، اجتماع ذرات، آموزش و یادگیری. مهندسی عمران شریف، ۲۰(۲)، صص. ۱۷-۲۸.

DOI:10.24200/J30.2023.62232.3212.

دادند، که می‌توانست با استفاده از توابع پاسخ بسامدی به طور مؤثری آسیب‌های غیرخطی را برای سطح معینی از تحریک تشخیص دهد. همچنین، ایشان نشان دادند که شبکه‌ی عصبی آموزش دیده با مجموع توابع پاسخ بسامدی به نتایج مطلوب‌تری در مقایسه با آموزش با توابع پاسخ بسامدی تک دست یافته و مدل مذکور قابلیت شناسایی خوبی غیرخطی در سازه‌ها را داشته است.

الکساندرینو<sup>۱۰</sup> و همکاران<sup>[۲۰۲۰]</sup>،<sup>[۲۱]</sup> یک راهبرد دو مرحله‌ای برای شناسایی سیستمی سازه‌های عمرانی برای پاسخ سلامت سازه با استفاده از تبدیل موجک و الگوریتم زتیک، یک ساختمان واقعی<sup>۸</sup> طبقه را آزمایش کردند و دریافتند که راهبرد پیشنهادی شان می‌تواند پارامترهای مودال را دقیقاً تخمین بزند.

قنادی و همکاران<sup>[۲۰۲۳]</sup>،<sup>[۲۲]</sup> از المان قاب با اتصال نیمه‌صلب به جای تیر اوپر برزلی برای تشكیل مدل اجزاء محدود تیر آزمایشگاهی و تولید یک مدل عددی با کیفیت استفاده کردند و در آن با تعیین مقدار بهینه‌ی درجه‌ی صلابت انتها اتصال‌ها با به‌کارگیری روش‌های بهینه‌سازی، تطبیق پیشتری میان نتایج آزمایشگاهی و عددی در مدل‌شان مشاهده شد. ایشان از دوتابع هدف، شامل: معیار اطمینان مودال کل اصلاح شده (MTMAC)<sup>۱۱</sup> و تغییرات در بسامدهای طبیعی استفاده کردند و با استفاده از سه روش بهینه‌سازی گرگ خاکستری (GWO)،<sup>[۲۳]</sup> بهینه‌سازی مبتنی بر گرادیان<sup>[۲۴]</sup> و روش تقویت شده‌ی گرگ خاکستری، به مقدار بهینه‌ی تابع هدف دست یافته‌ند و روش تقویت شده‌ی گرگ خاکستری با معیار اطمینان مودال کل اصلاح شده در کمترین زمان به مطلوب‌ترین نتایج رسیده بود.

قنادی و کورهای<sup>[۱۹۶۷]</sup>،<sup>[۲۵]</sup> نیز از الگوریتم بهینه‌سازی کپک مخاطی<sup>۱۴</sup> و بهینه‌سازی شکارچیان دریابی<sup>۱۵</sup> جهت تعیین میزان خوبی در سازه‌هایی با مقیاس بزرگ استفاده و نتایج به دست آمده را با روش‌های بهینه‌سازی شیر مورچه<sup>۱۶</sup>، بهینه‌سازی نهنگ<sup>۱۷</sup>، و بهینه‌سازی ملح<sup>۱۸</sup> مقایسه کردند. آنها از سه تابع هدف، شامل: معیار اطمینان مودال،<sup>[۱۹]</sup> معیار اطمینان مودال کل اصلاح شده و معیار بردار بسامد طبیعی اطمینان<sup>[۲۰]</sup> جهت بهینه‌سازی تابع هدف استفاده کردند. سازه‌هایی بررسی شده‌ی عددی، شامل خربایی دور بعدی با ۵۳ المان و برج تلویزیونی گوانگزو<sup>[۲۱]</sup> و نیز یک قاب<sup>۳</sup> طبقه با عنوان مطالعه‌ی آزمایشگاهی بودند و بهترین نتایج با استفاده از معیار اطمینان مودال کل اصلاح شده به عنوان تابع هدف و روش بهینه‌سازی شکارچیان دریابی شده‌ی کپک مخاطی به دست آمد. در مطالعه‌ی ایشان، روش بهینه‌سازی شکارچیان دریابی، علی‌رغم دستیابی به نتایج مطلوب، زمان اجرایی پیشتری نسبت به سایر روش‌های بهینه‌سازی داشت.

بی‌فی<sup>[۲۲]</sup> و همکاران<sup>[۲۰۲۳]</sup>،<sup>[۲۶]</sup> روشی جدید برای شناسایی آسیب در سازه‌ها ارائه دادند که در آن از یک مدل سازی جایگزین پیشرفته برای تولید یک روش بهینه‌سازی ترکیبی، شامل: بهینه‌سازی خوشبندی K میانگین<sup>۲۳</sup> و الگوریتم زتیک استفاده کرده بودند. هسته‌ی اصلی در روش مذکور، استفاده از روش قابل اعتماد و کم‌هزینه‌ی بسط چندجمله‌ای آشوب<sup>۲۴</sup> به عنوان جایگزینی برای مدل‌های اجزاء محدودی بود، که کارایی مناسبی در بهینه‌سازی تابع هدف داشت. ایشان کارایی و قابلیت اطمینان روش پیشنهادی شان را در برخورد با مشکلات به روزرسانی مدل‌های اجزاء محدودی و شناسایی آسیب در یک سد آزمایشگاهی با مقیاس کوچک بررسی کردند و دریافتند که روش پیشنهادی آنها می‌تواند به عنوان ابزاری بسیار کارآمد و بالقوه با همگرایی سریع و دقت بالا، برای شناسایی آسیب در سازه‌های بزرگ و پیچیده به‌کار رود.

به‌طورکلی امروزه در مطالعاتی گستره‌د، الگوریتم‌های بهینه‌سازی فرالبتکاری برای حل مسائل مختلفی استفاده می‌شوند.<sup>[۲۷-۲۵]</sup> به عنوان مثال، کومار<sup>۲۵</sup> و همکاران<sup>[۲۰۲۲]</sup>،<sup>[۲۸]</sup> یک بهینه‌سازی مبتنی بر آموزش و یادگیری چند‌هده برا ساس چارچوب

هزینه‌های مالی و زمانی، راستی آزمایی سیستم پایش سلامت صورت گیرد، تا در صورت نیاز اصلاح شود.

قسمت قابل توجهی از مطالعات در بخش پایش سلامت سازه‌ها، ارائه رویکرد مناسب به منظور تشخیص خرابی است. داده‌های به دست آمده از مدل‌های عددی، آزمایشگاهی و سایت‌های واقعی باید به درستی تحلیل و بررسی شود تا موقعیت خرابی احتمالی را مشخص کنند. به این منظور، روش‌های متعددی در این زمینه پیشنهاد شده است؛ که بسیاری از آنها براساس تحلیل‌های آماری،<sup>[۲۹]</sup> روش‌های یادگیری ماشین،<sup>[۱۵]</sup><sup>[۱۶]</sup> وغیره هستند. این تذکر لازم است که در داده‌های برداشت شده از یک سازه، خطاهایی ناشی از عوامل محیطی، بهره‌برداری وغیره وجود دارد. در نتیجه، هر چه یک روش پیشنهادی به خطاهای موجود در داده‌ها حساسیت کمتری داشته باشد و بتواند خرابی احتمالی را به درستی با خطاهای موجود تشخیص دهد، کاربردی تر خواهد بود.

رویکرد استفاده شده در بسیاری از روش‌های موجود در ادبیات فنی پایش سلامت سازه‌ها، ارائه شیوه‌ای بوده است که اختلاف میان بسامدها و شکل‌های مودال یک سازه‌ی واقعی و مدل عددی آن را تحت بارگذاری دینامیکی به میزان کمینه برساند. به این منظور، یونئ<sup>۱</sup> و همکاران<sup>[۲۰۰۶]</sup>،<sup>[۳۰]</sup> روشی برای بهره‌برداری از روش‌های مدل سازه‌ای بیزی<sup>۲</sup> با استفاده از داده‌های مودال مربوط به بسامدهای طبیعی و شکل‌های مودال ارائه دادند. رویکرد آنها برای یافتن محتمل ترین مقادیر پارامترهای مدل ساختاری و مودال سیستم، استفاده از یک طرح تکراری، شامل یک سری مسائل بهینه‌سازی خطی جفت شده بوده است. روش ارائه شده‌ی ایشان نیاز به حل مسئله‌ی مقدار ویژه برای هر مدل ساختاری و تطبیق حالت‌های اندازه‌گیری شده با حالت‌های مرتبط از مدل ساختاری ندارد و برخلاف بسیاری از روش‌های موجود در ادبیات فنی است. با توجه به آنکه مدل اخیر چندان به نویز حساس نیست، به نظر می‌رسد مدل پیشنهادی ایشان از نظر قدرت محاسباتی مؤثر و مقاوم است.

پژوهشگران متعددی با استفاده از روش‌های بهینه‌سازی فرالبتکاری و هوش مصنوعی سعی بر ارائه رویکردهایی نوین به منظور بررسی خرابی در سازه‌های عمرانی داشته‌اند. تیاحت<sup>۳</sup> و همکاران<sup>[۱۸]</sup>،<sup>[۳۱]</sup> یک رویکرد کاربردی از الگوریتم مبتنی بر الگوریتم زتیک<sup>۴</sup> برای تشخیص آسیب در ساختارهای قاب سه‌بعدی ارائه کردند. لذا یک قاب سه‌بعدی<sup>۲</sup> طبقه را به عنوان یک مثال عددی برای شناسایی آسیب در سازه با استفاده از روش پیشنهادی خود بررسی کرده و نتایج به دست آمده هیچ خطای در پیش‌بینی مکان آسیب نداشته است؛ با این حال یک خطای جزئی در تشخیص شدت آسیب مشاهده شده است. لذا دریافتند که الگوریتم زتیک، ابزاری کارآمد برای تعیین کیفی آسیب‌های منفرد و چندگانه با دقت بالا در ساختارهای قاب سه‌بعدی است. لی<sup>۵</sup> و همکاران<sup>[۲۰۲۱]</sup> کارایی<sup>[۱۶]</sup> تابع هدف بر پایه‌ی بسامدهای طبیعی سازه را با استفاده از الگوریتم اجتماع ذرات (PSO)<sup>۶</sup> و روش اجراء محدود<sup>۷</sup> در تشخیص آسیب مقایسه کردند. نتایج شبهیه‌سازی به دست آمده، عملکرد و برتری تابع تناسب را برای ستاریوی آسیب مفرد و چندگانه نشان داد.

پرز-رامیرزیک<sup>۸</sup> و همکاران<sup>[۲۰۱۷]</sup>،<sup>[۱۹]</sup> با استفاده از یک راهبرد دو مرحله‌ای، شامل تحریک طبیعی سازه و حل یک مسئله‌ی بهینه‌سازی مبتنی بر الگوریتم زتیک، پارامترهای مودال را تخمین زندند و دقت و مؤثر بودن روش پیشنهادی خود را در ارزیابی پاسخ شبهیه‌سازی شده‌ی یک سازه‌ی مرتع و نتایج حاصل از مطالعه‌ی یک ساختمان<sup>۸</sup> طبقه‌ای نشان دادند. بندها<sup>۹</sup> و همکاران<sup>[۲۰۱۴]</sup>،<sup>[۲۰]</sup> یک روش تشخیص الگوی خرابی مبتنی بر شبکه‌ی عصبی مصنوعی و الگوریتم زتیک ارائه

مرتب سازی غیر مسلط<sup>۲۶</sup> و ذخیره سازی راه حل در یک آرشیو خارجی برای دست یابی به سازه‌یی با مشخصات مطلوب پیشنهاد کرده‌اند؛ که علاوه بر بهبود سرعت جستجو و نزخ همگرایی الگوریتم، دست یابی به مجموعه‌ی بهینه‌ی پرتو نزدیک به راه حل‌های پرتو واقعی را میسر می‌سازد.

در مسائلی با تعداد متغیر اندک و تابع هدف ساده، استفاده از الگوریتم‌های بهینه‌سازی کلاسیک به راحتی ممکن است؛ اما زمانی که تعداد متغیرها قابل توجه باشد و یا تابع هدف مسئله به صورت غیرخطی و پیچیده باشد، روش‌های فراابتکاری کارایی بهتری خواهد داشت. هدف از پژوهش حاضر، ارائه رویکردی ساده و نوین برای تشخیص آسیب در مسائل پیچیده‌ی سازه‌یی است. تمرکز پژوهش حاضر بر مقایسه‌ی دقت و سرعت همگرایی الگوریتم‌های بهینه‌سازی فراابتکاری مختلف بوده است. همچنین سعی شده است تا با استفاده از الگوریتم‌های بهینه‌سازی ژنتیک،<sup>۱۹</sup> اجتماع ذرات<sup>۲۰</sup> و آموزش و یادگیری (TLBO)<sup>۲۱</sup>،<sup>۲۲</sup> رویکردی برای شناسایی محل و میزان آسیب در سازه‌های عمرانی بر پایه مشخصات مودال سازه ارائه شود.

در اثر آسیب‌های واردہ بر سازه‌های عمرانی، ماتریس جرم تغییر چندها نمی‌کند، اما به دلیل ایجاد زوال در سازه، سختی المان‌ها کاهش می‌یابد. منظور از زوال در المان‌ها، وقوع ترک در سازه‌های پتنی و یا تسلیم موضعی در مقاطع فولادی است. در این حالت باید سختی سازه بررسی شود و در صورت نیاز اقدام‌های لازم به منظور بهسازی آن صورت پذیرد. بنابراین مسئله ذکر شده، تبدیل به تعیین ماتریس سختی پس از آسیب ناشی از زلزله می‌شود.

در صورتی که ماتریس سختی سازه‌ی آسیب دیده مشخص شود، به راحتی می‌توان از مدل‌های عددی تحت بارگذاری دینامیکی مشخص کنترل شده است. نوآوری پژوهش حاضر، ارائه رویکردی بوده است که بتوان با کمینه‌سازی تابع هدفی متشکل از بسامد و مود شکل اول سازه، سختی المان‌ها یا طبقات سازه را مستقیماً تعیین کرد. رویکرد مذکور در واقع مقدار سختی المان‌ها را به گونه‌ای تعیین می‌کند که مشخصات مودال سازه‌ی تعیین شده توسط آن، بیشترین تطابق را با مشخصات مودال سازه‌ی واقعی (حاصل از آنالیز تابعی) به دست آمده از حسگرها متصلب بر سازه داشته باشد. همچنین در پژوهش حاضر به مقایسه‌ی دقت و سرعت همگرایی روش‌های فراابتکاری مختلف، شامل: بهینه‌سازی ژنتیک، اجتماع ذرات و آموزش و یادگیری در تعیین سختی المان‌های ۳ سازه‌ی مختلف، شامل: قاب یک بعدی ۳ طبقه، قاب یک بعدی ۶ طبقه و یک خرپای دو بعدی پرداخته شده است. از آنجایی که رویکرد ارائه شده بر کمینه‌سازی یک تابع هدف مشخص نلاش می‌کند، برخلاف بسیاری از روش‌های موجود در ادبیات فنی نسبت به خطاهای محیطی حساسیت کمتری دارد.

## ۱.۱. تعریف مسئله

بررسی و تحلیل سازه‌ها، با در دست داشتن مشخصات سازه به آسانی ممکن است. منظور از مشخصات سازه، ماتریس‌های جرم، سختی و میرایی است. در صورت مشخص شدن ماتریس‌های مذکور، می‌توان مشخصات مودال سازه، نظری بسامد‌های طبیعی و شکل‌های مودی را برای سازه تعیین کرد. همچنین در این حالت به راحتی می‌توان پاسخ سازه را نسبت به هر نوع بارگذاری دلخواه مشخص کرد.

ماتریس جرم سازه، از جرم المان‌های تشکیل دهنده‌ی سازه حاصل می‌شود. در صورتی که درجه‌های آزادی به صورت گسسته باشند، معمولاً ماتریس جرم به صورت یک ماتریس قطری است. اما در صورتی که سازه با استفاده از درجه‌های آزادی پیوسته مدل شود، ماتریس جرم از حالت قطری خارج می‌شود و درجه‌های خارج از

## ۲.۱. کاربرد سیستم پایش سلامت سازه‌ها در تعیین مشخصات دینامیکی

در صورت استفاده از سیستم پایش سلامت سازه، با تعییه‌ی تعدادی حسگر در بخش‌های مختلف سازه می‌توان شتاب را در درجه‌های آزادی مختلف به دست آورد. با استفاده از داده‌های اخیر و روش‌های متعدد می‌توان بسامدها و شکل‌های مودی سازه را تعیین کرد.<sup>۲۳</sup> یکی از روش‌های رایج به منظور تعیین بسامدها و شکل‌های مودی سازه با استفاده از داده‌های به دست آمده از حسگرها، روش تجزیه‌ی دامنه‌ی بسامد یا FDD<sup>۲۸</sup> است. روش FDD، یک شیوه‌ی شناسایی مشخصات مودال سازه براساس رکورد خروجی سازه است و با استفاده از روش تجزیه‌ی مقدار منفرد،<sup>۲۹</sup> از چگالی طیفی توان<sup>۳۰</sup> خروجی سازه، مشخصات مودال آن را محاسبه می‌کند.<sup>۲۷</sup> پاتوجه به آنکه بیشتر داده‌های ثبت شده در اثر بارگذاری محیطی، نظری و روش باد هستند، معمولاً با استفاده از روش‌های مذکور فقط امکان تعیین چندین بسامد طبیعی و شکل‌های مودی اول سازه است، که علت آن تحریک نشدن بسامدهای بالاتر در بارگذاری محیطی است. به عبارت دیگر، برای تحریک مودهای موردنظر، نیاز به اعمال بارگذاری خارجی است و درنتیجه‌ی آن، ساخت یک سیتاب<sup>۳۱</sup> آزمایشی اجتناب ناپذیر است. تجهیزات موردنیاز هزینه‌بر است، که چندان توجیه اقتصادی ندارند. بنابراین با در نظر گرفتن پاسخ‌های ناشی از بارگذاری محیطی می‌توان اطلاعات چندین مود اول سازه را تعیین کرد.

بنابراین توقع می‌رود که با استفاده از سیستم پایش سلامت سازه‌ها بتوان بسامد و

هلندت<sup>۳۳</sup> در اوایل دهه‌ی ۷۰ میلادی ارائه شده است؛ وی در سال ۱۹۷۵ میلادی با معرفی یک کتاب، الگوریتم ژنتیک را به جهان معرفی کرد، که الیه در ابتداء مورداستقبال چندانی واقع نشد.<sup>[۲۰]</sup> پس از وی گلدبرگ<sup>(۱۹۸۹)</sup><sup>[۲۱]</sup> و برخی دیگر از دانشمندان با تلاش‌های خود، الگوریتم ژنتیک را بهبود و کاربردی تر ساختند و با انتشار کتاب‌های متعددی با هدف ارائه‌ی نسخه‌های اصلاح شده‌ی خود، الگوریتم ژنتیک را به یکی از متداول‌ترین روش‌های حل مسائل بهینه‌سازی تبدیل کردند.

به طورکلی نظریه‌ی ژنتیک براساس سیر تکاملی طبیعی جانداران با الهام از نظریه‌ی داروین ابداع شده است.

الگوریتم ژنتیک براساس سیر تکاملی جانداران در طبیعت ارائه و در آن از دو مفهوم کروموزوم و زن استفاده می‌شود، که عبارت اند از:

کروموزوم: یک کروموزوم، یک رشته از اعداد یا یک ماتریس است، که می‌توان هر عضواز جمعیت را با آن مشخص کرد. در اصل می‌توان گفت که هر بردار در فضای مسئله را می‌توان با یک کروموزوم نمایش داد.

زن: هر کروموزوم از تعدادی زن تشکیل شده است، که با توجه به نوع الگوریتم، یک چند زن می‌توانند یک متغیر مسئله را تعیین کنند.

سه عملگر اصلی الگوریتم ژنتیک، انتخاب طبیعی<sup>۲۵</sup>، ادغام<sup>۲۶</sup> و جهش<sup>۲۷</sup> هستند، که در ادامه شرح داده شده‌اند:<sup>[۲۸]</sup>

— انتخاب طبیعی: این عملگر براساس قانون جنگل در هر گام از بین جمعیت نسل والدین و نسل فرزندان، نسل والدین جدید را انتخاب می‌کند. عملگر انتخاب طبیعی، در حالت ایده‌آل باید احتمال انتخاب جمعیت مناسب‌تر (دارای تابع هدف بهتر) را بیشتر از جمعیت نامناسب قرار دهد، اما باید بهگونه‌ای باشد که امکان انتخاب تمام جمعیت وجود داشته باشد تا از نخبه‌گرایی اجتناب شود. پس از محاسبه‌ی تابع هدف هر یک از کروموزوم‌ها و مرتکردن آنها از کمترین به بیشترین مقدار انتخاب والد براساس یکی از روش‌های انتخاب والد از بالا به پایین<sup>۲۸</sup>، انتخاب تصادفی والد<sup>۲۹</sup> و یا انتخاب تصادفی وزن دار<sup>۳۰</sup> انجام می‌شود. روش انتخاب تصادفی وزن دار والدین از مزایای دو روش دیگر استفاده می‌کند.

— ادغام: پس از انتخاب نسل والدین با استفاده از عملگر انتخاب طبیعی، نوبت به تولید فرزندان اولیه می‌رسد. این کار با اعمال عملگر ادغام صورت می‌گیرد. در این مرحله، به صورت تصادفی عضوهای جمعیت به دسته‌های دو تایی تقسیم می‌شوند و کروموزوم‌های دو عضو هر دسته با جایه‌جا کردن زن‌های خود، نسل فرزندان اولیه را تشکیل می‌دهند.

— جهش: در طبیعت پدیده‌ای به نام جهش به این صورت رخ می‌دهد که گاهی از یک پدر و مادر، فرزندی کاملاً متفاوت زاده می‌شود. به منظور اعمال این پدیده‌ی طبیعی در الگوریتم ژنتیک، از عملگر جهش استفاده می‌شود، که با انتخاب تعداد اندکی از زن‌های جمعیت فرزندان اولیه، در آنها تغییری به صورت تصادفی صورت می‌گیرد.

در پژوهش حاضر از جمعیه‌ی بزار ارائه شده توسط چیپرفیلد<sup>۴۱</sup> و همکاران<sup>(۱۹۹۴)</sup><sup>[۳۹]</sup> استفاده شده است و پارامترهای در نظر گرفته شده برای الگوریتم ژنتیک مطابق جدول ۱ هستند. شایان ذکر است که در پژوهش حاضر، هر یک از پارامترها پس از چند بار اجرای الگوریتم ژنتیک با در نظر گرفتن سرعت مناسب همگرایی تعیین شده‌اند.

شکل مودی اول سازه را تعیین کرد، در پژوهش حاضر، با ارائه‌ی رویکرده با استفاده از اطلاعات بسامدی مود اول، ماتریس سختی سازه تعیین شد است.

پس از تعیین اطلاعات مودال سازه، میان ماتریس سختی و ماتریس جرم، رابطه‌ی ۱ برقرار است:

$$(1) [K]_{n \times n} [\phi]_{n \times n} = [M]_{n \times n} [\Omega^t]_{n \times n} [\phi]_{n \times n}$$

که در آن،  $[K]$  ماتریس سختی،  $[M]$  ماتریس جرم،  $[\phi]$  ماتریسی شامل بردارهای شکل‌های مودی و  $[\Omega^t]$  ماتریس قطری شامل توان دوم بسامد های طبیعی سازه هستند، که ابعاد همه‌ی آنها  $n \times n$  است ( $n$  تعداد درجه‌های آزادی است).

در صورتی که فقط برای بسامد و شکل مودی اول، رابطه‌ی ۱ در نظر گرفته شود، با استفاده از رابطه‌ی ۲، به تعداد درجه‌های آزادی، معادله به دست می‌آید:<sup>[۲۵]</sup>

$$(2) [K]_{n \times n} \{\varphi_1\}_{n \times 1} = \omega^t \{M\}_{n \times n} \{\varphi_1\}_{n \times 1}$$

که در آن،  $\{\varphi_1\}$  و  $\omega^t$  به ترتیب شکل مودی و بسامد طبیعی اول سازه هستند. با در دست داشتن ماتریس جرم، بسامد و شکل مودی اول سازه، به تعداد درجه‌های آزادی، معادله حاصل می‌شود. این در حالی است که تعداد مجہولات در ماتریس سختی برابر مجنوز درجه‌های آزادی ( $n^t$ ) است، که در صورت استفاده از تقارن در ماتریس سختی، تعداد مجہولات به  $(n^t + n)/2$  تقلیل می‌یابد. با توجه به آنکه همواره تعداد درجه‌های آزادی بزرگ‌تر یا مساوی ۱ است، لذا همواره تعداد مجہولات از تعداد معادله‌ها در رابطه‌ی ۲ بیشتر است. با توجه به آنکه هر مود سازه،  $n$  معادله را تشکیل می‌دهد، به منظور تعیین تمامی درجه‌های ماتریس سختی، فقط نیاز به مشخصات  $2/(n+1)$  است. در صورتی که از ابتداء فرض شود که ماتریس سختی یک ماتریس قطری است، آنگاه می‌توان مسئله را به صورت تحلیلی نیز حل کرد؛ البته باید به این نکته توجه شود که در این حالت یک قید بسیار محدودکننده، قطری بودن ماتریس سختی، از همان ابتدا اعمال شده است، که الزاماً به پاسخ صحیحی نمی‌رسد.

به اصطلاح، به حالتی از دستگاه معادلات که تعداد مجہولات از تعداد معادلات کمتر باشد، دستگاه فرامعن<sup>۳۱</sup> می‌گویند. برای حل این دسته از معادلات معمولاً سراغ شده تعریف و با سعی و خطأ در فرض مجہولات، تابع هدف مذکور، کمینه می‌شود. در مسئله‌ی مطرح شده در پژوهش حاضر هدف آن است که ماتریس سختی سازه براساس کمینه‌سازی یک تابع هدف مناسب و با استفاده از چندین روش بهینه‌سازی فرایتکاری، مانند: الگوریتم ژنتیک، اجتماع ذرات، و آموزش و یادگیری تعیین شود.

### ۱. الگوریتم‌های بهینه‌سازی

امروزه در بسیاری از مسائل مهندسی، یافتن پاسخ به روش‌های کلاسیک غیرممکن و یا با صرف هزینه و زمان زیادی ممکن است. یکی از راه‌های کاهش هزینه، استفاده از الگوریتم‌های بهینه‌سازی برای دستیابی به جواب بهینه است. دسته‌ای از الگوریتم‌های بهینه‌سازی ذکر شده، الگوریتم‌های فرایتکاری هستند، که با الهام از طبیعت زنده یا طبیعت بی‌جان، سعی در حل مسائل بهینه‌سازی دارند. از جمله‌ی آنها می‌توان به الگوریتم ژنتیک، الگوریتم اجتماع ذرات، الگوریتم آموزش و یادگیری، الگوریتم مورچگان و ... اشاره کرد.

### ۱.۱. الگوریتم ژنتیک

ارائه‌ی الگوریتم ژنتیک به اواخر دهه‌ی ۸۰ میلادی باز می‌گردد و از آن زمان تاکنون نسخه‌های متعددی از آن ارائه شده است. الگوریتم ژنتیک، اولین بار توسط جان

جدول ۱. پارامترهای الگوریتم زنگی استفاده شده در پژوهش حاضر.

پارامتر	مقدار
تعداد جمعیت	۱۰۰
تکرار نسل	۱۰۰
درصد تفاوت نسل ها	۰/۸
درصد ادغام	۰/۷

جدول ۲. پارامترهای الگوریتم اجتماع ذرات استفاده شده در پژوهش حاضر.

پارامتر	مقدار
تعداد جمعیت	۱۰۰
تکرار نسل	۱۰۰
پارامتر شناختی	۱/۴۹۶۲
پارامتر اجتماعی	۱/۴۹۶۲
ابینسی وزنی	۰/۷۲۹۸

جدول ۳. پارامترهای الگوریتم آموزش و یادگیری استفاده شده در پژوهش حاضر.

پارامتر	مقدار
تعداد جمعیت	۱۰۰
تکرار نسل	۱۰۰

### ۳.۳. الگوریتم آموزش و یادگیری

یکی از جدیدترین الگوریتم های مبتنی بر مقدار میانگین، الگوریتم مبتنی بر آموزش و یادگیری است، که از نوشتار راو<sup>۴۲</sup> و همکاران<sup>۲۰ ۱۱</sup> و براساس فرایند آموزش و یادگیری رخداده در کلاس درس الهام گرفته شده است.<sup>[۲۳]</sup>

الگوریتم آموزش و یادگیری به دلیل داشتن پارامترهای کنترلی محدود، روشی ساده برای بهینه سازی مسائل است و قدرت بالایی در دستیابی به جواب بهینه دارد و از دو مرحله ای اصلی آموزش دهنده (معلم) و آموزش گیرنده (دانش آموز) تشکیل شده است. در روش حاضر، بهترین عضو جمعیت به عنوان معلم و بقیه ای اعضاء جمعیت به عنوان دانش آموز در نظر گرفته می شوند. در واقع، در روش اخیر، معلم به معنای واقعی وجود ندارد و در هر مرحله بهترین عضو جمعیت به عنوان معلم انتخاب می شود. در اینجا مراحل الگوریتم آموزش و یادگیری تشریح شده است:

مرحله ای آموزش دهنده (معلم): در این مرحله، معلم که در واقع همان بهترین عضو جمعیت است، سعی دارد با آموزش، علم دانش آموزان را افزایش دهد و میانگین را به سمت خود جذب کند. اگر بهترین فرد، به عنوان معلم در نظر گرفته شود، در بهترین حالت می توان در نظر گرفت که میانگین کلاس، پس از آموزش بر میانگین معلم منطبق خواهد شد. این فرض فقط یک فرض ایده آل است، که احتمال رخداد آن ناچیز است. زیرا در صورت برابری میانگین با معلم، گویی علم تمامی دانش آموزان پس از آموزش برابر با علم معلم شده است، که تقریباً غیرممکن است. در واقع می توان فرض کرد که میانگین دانش آموزان پس از آموزش افزایش یافته و مقدار آن به معلم نزدیک شده است، ولی از آن کمتر بوده است. این فرض منطقی تر و به واقعیت نزدیک تر است.

مرحله ای آموزش گیرنده (دانش آموز): در این مرحله، که پس از آموزش توسط معلم رخداده شده است، حل تمرین و همکاری دانش آموزان سبب افزایش سطح علمی آنها می شود. در واقع، از تعامل میان دانش آموزان، یادگیری متقابل به وجود می آید.

کد استفاده شده برای پیاده سازی الگوریتم آموزش و یادگیری توسعه نویسندها در نرم افزار متلب<sup>۴۲</sup> پیاده سازی و پارامترهای آن در جدول ۲ ارائه شده است. این تذکر لازم است که در پژوهش حاضر هر یک از مسائل بررسی شده در ابتدا، چندین بار به ازاء مقادیر پارامترهای مختلف با بهکارگیری الگوریتم آموزش و یادگیری اجرا شده است، تا مقادیر مناسب آنها که مسئله با سرعت مناسبی همگرا شود، تعیین شود.

### ۱.۲.۳. الگوریتم اجتماع ذرات

در تدوین الگوریتم اجتماع ذرات از پرواز گروهی پرندگان، شناز گروهی ماهی ها، و زنگی اجتماعی آنها الهام گرفته شده است، که با استفاده از یک سری روابط ساده فرمول بندی می شود. نظری سایر الگوریتم های تکاملی دیگر، الگوریتم اجتماع ذرات نیز با ایجاد یک جمعیت تصادفی از افراد، که در اینجا به عنوان مثال یک گروه از ذرات خوانده می شوند، آغاز می شود. مشخصات هر ذره در گروه براساس مجموعه ای از پارامترها تعیین می شود، که باید مقادیر بهینه آنها تعیین شود. در روش کنونی، هر ذره یک نقطه از فضای جواب مسئله را نشان می دهد. هر کدام از ذرات، حافظه دارند و بهترین موقعیتی که در فضای جستجو به آن می رسند را به خاطر می سپارند. بنابراین حرکت هر ذره در دو جهت صورت می گیرد:<sup>[۲۴]</sup>

- به سوی بهترین موقعیتی که تاکنون اختیار کرده است:
  - به سوی بهترین موقعیتی که همه ذرات تا به حال اختیار کرده اند.
- در این روش، تغییر موقعیت هر ذره در فضای جستجو تحت تأثیر تجربه و دانش خود و همسایگانش است. در مجموع با رابطه<sup>۳</sup> ۳، روش اجتماع ذرات به سمت جواب بهینه حرکت می کند:

$$X_i^{(t+1)} = X_i^t + wV_i^t + C_1 \text{rand}(0; 1)(pbest_i - X_i^t) + C_2 \text{rand}(0; 1)(gbest_i - X_i^t) \quad (3)$$

که در آن  $X_i^t$  موقعیت کنونی ذره،  $X_i^{(t+1)}$  موقعیت ذره در تکرار جدید،  $pbest_i$  بهترین موقعیتی که ذره<sup>۴</sup> تاکنون اختیار کرده و  $gbest_i$  بهترین موقعیت بهترین ذره (بهترین موقعیتی که تمام ذرات تاکنون اختیار کرده اند) است.  $(C_1, C_2)$  عدد تصادفی بین ۰ و ۱ است، که برای حفظ تنوع و گوناگونی گروه به کار می رود.  $C_1$  به ترتیب پارامترهای شناختی و اجتماعی هستند. انتخاب مقدار مناسب برای پارامترهای  $C_1$  و  $C_2$  منجر به سریع همگرایی الگوریتم و جلوگیری از همگرایی زودرس در بهینه های محلی می شود. مطالعات اخیر نشان می دهند که انتخاب مقدار بزرگ تری برای پارامتر شناختی  $C_1$  نسبت به پارامتر اجتماعی  $C_2$  مناسب تر است، اما باید همواره شرط  $C_1 > C_2$  رعایت شود. پارامتر  $w$  اینرسی وزنی نام دارد، که برای تضمین همگرایی در اجتماع ذرات به کار می رود. اینرسی وزنی، جهت کنترل تأثیر سوابق سرعت های پیشین در سرعت های جاری استفاده می شود.

کد استفاده شده برای پیاده سازی الگوریتم اجتماع ذرات در پژوهش حاضر، توسط نویسندها در نرم افزار متلب<sup>۴۲</sup> پیاده سازی و پارامترهای آن در جدول ۲ ارائه شده است. این تذکر لازم است که در پژوهش حاضر هر یک از مسائل بررسی شده در ابتدا، چندین بار به ازاء مقادیر پارامترهای مختلف با بهکارگیری الگوریتم اجتماع ذرات اجرا شده است، تا مقادیر مناسب آنها که مسئله با سرعت مناسبی همگرا شود، تعیین شود.

## ۱.۴. تابع هدف

فرض می‌شود که مقدار هر یک از پارامترهای واقعی مربوط به جرم و سختی در سازه‌ی آسیب دیده پس از زلزله مطابق جدول ۴ است. این نتذکر لازم است که انتظار می‌رود با الگوریتم‌های ذکر شده، مقادیر مشابه سختی طبقات موجود در جدول ۴ با استفاده از ماتریس جرم و مود اول سازه با اندکی خطأ حاصل شود. سیستم پایش سلامت، بسامد طبیعی، و شکل مودی اول سازه‌ی ۳ طبقه را پس از آنالیزهای بیان شده در بخش ۲.۱ مطابق رابطه‌ی ۵ گزارش داده است:

$$\omega = 16,6015 \text{ rad/s} \quad \{\varphi_1\} = \begin{Bmatrix} 0,4123 \\ 0,7588 \\ 1 \end{Bmatrix} \quad (5)$$

### ۱.۲.۵.۱. سازه‌ی ۶ طبقه

همچنین در پژوهش حاضر، یک سازه‌ی ۶ طبقه با جرم‌های متمرکز برای طبقات مطابق شکل ۲ در نظر گرفته شده است. با فرض مجھول بودن سختی طبقات در سازه‌ی ۶ طبقه، تعداد متغیرهای مسئله برابر تعداد طبقات و یا به عبارتی دیگر برابر با ۶ است.

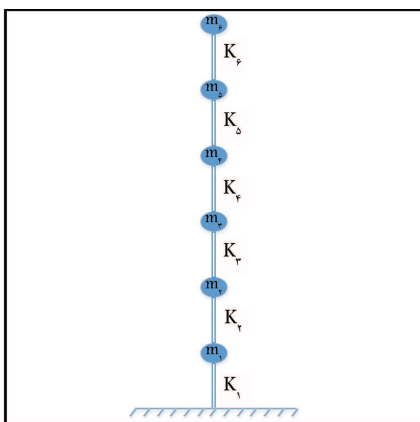
فرض شده است که مقدار هر یک از پارامترهای واقعی مربوط به جرم و سختی در سازه‌ی آسیب دیده پس از زلزله مطابق جدول ۵ است. شایان ذکر است که انتظار می‌رود با الگوریتم‌های ذکر شده، مقادیر مشابه سختی طبقات موجود در جدول ۵ با

جدول ۴. مشخصات سازه‌ی ۳ طبقه.

طبقه	جرم (tonf)	سختی (kN/m)
۱	۵۰	۶۰۰۰۰
۲	۴۵	۵۵۰۰۰
۳	۳۵	۴۰۰۰۰

جدول ۵. مشخصات سازه‌ی ۶ طبقه.

طبقه	جرم (tonf)	سختی (kN/m)
۱	۶۰	۸۰۰۰۰
۲	۶۰	۷۵۰۰۰
۳	۵۵	۷۰۰۰۰
۴	۵۰	۶۰۰۰۰
۵	۴۵	۴۵۰۰۰
۶	۳۰	



شکل ۲. شکل شماتیک سازه‌ی ۶ طبقه.

برای استفاده از هر یک از روش‌های الگوریتم رتیک، اجتماع ذرات و آموزش و یادگیری نیاز به تعریف یک تابع هدف دارد تا پس از چند نسل با کمینه‌سازی تابع هدف، مقادیر بهینه‌ی پاسخ حاصل شود. جهت تعیین ماتریس سختی در سازه‌ای با ماتریس جرم مجھول و بسامد و مود شکل اول معلوم، تابع هدف توسعه رابطه‌ی ۴ تعریف می‌شود:<sup>[۱۶]</sup>

$$f = ||\{\varphi^*\} - \{\varphi\}|| \quad (4)$$

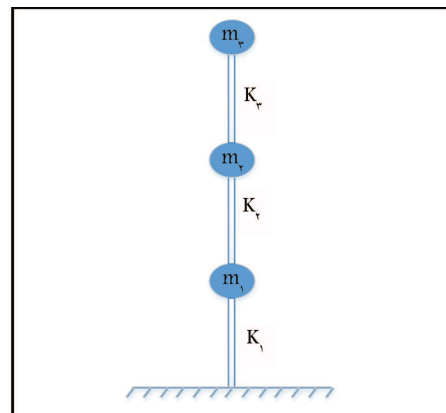
که در آن،  $f$  تابع هدف،  $\{\varphi^*\}$  و  $\{\varphi\}$  به ترتیب بسامد و مود شکل اول سازه با ماتریس سختی فرضی در هر نسل،  $\omega$  و  $\{\varphi\}$  به ترتیب بسامد و مود شکل اول سازه حاصل از سیستم پایش سلامت هستند. علامت  $||$  نیز نرم یا اندازه‌ی بردار است.

## ۱.۵. سازه‌های بررسی شده

در پژوهش حاضر دو سازه‌ی ۳ و ۶ طبقه، همراه با یک خرپای ۶ المانی بررسی شده‌اند. در ادامه، مشخصات هر کدام از سازه‌ها بیان شده است. هدف مسئله در سازه‌های ۳ و ۶ طبقه‌ای، تعیین سختی المان‌ها و در سازه‌ی خرپایی تعیین سطح مقطع المان‌ها با استفاده از الگوریتم‌های بهینه‌سازی و بهکارگیری مشخصات مodal سازه مطابق با تابع هدف ارائه شده است. در حقیقت، یک سیستم مشخص که مشخصات مodal آن معلوم است، با الگوریتم‌های ذکر شده، ارزیابی و تطبیق مشخصات المان‌های به دست آمده با مقادیر واقعی بررسی می‌شود. از آنجایی که روش موردنظر قابل تعمیم به هر سازه‌ای است، سازه‌های موردنظر توسعه نویسندگان به منظور بررسی کارایی، دقت، و سرعت همگرایی الگوریتم‌های موردنظر در نظر گرفته شده‌اند. قیود هر مسئله، شامل شرایط مرزی تکیه‌گاهی است، که در هر مسئله با استفاده از کد تحلیل سازه اعمال می‌شوند. شایان ذکر است که هدف از پژوهش حاضر، نشان دادن توانایی روش‌های موردنظر در تشخیص خرابی المان‌های سازه‌ای است؛ لذا مقادیر اولیه‌ی سختی المان‌ها یا طبقات با فرض مهندسی در نظر گرفته شده‌اند.

### ۱.۱.۵.۱. سازه‌ی ۳ طبقه

در بخش حاضر، یک سازه‌ی ۳ طبقه که جرم‌های هر طبقه به صورت متمرکز هستند، بررسی شده است و شکل شماتیک آن در شکل ۱ مشاهده می‌شود. با فرض مجھول بودن سختی طبقات در سازه‌ی ۳ طبقه، تعداد متغیرهای مسئله برابر تعداد طبقات یا به عبارتی دیگر برابر با ۳ است.



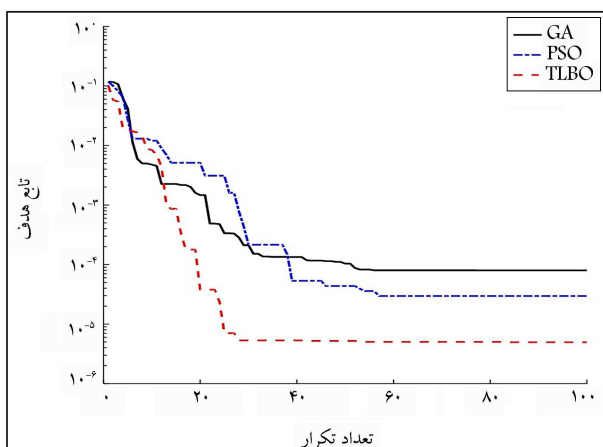
شکل ۱. شکل شماتیک سازه‌ی ۳ طبقه.

$$\omega = 1,3490 \text{ rad/s} \quad \{\varphi_1\} = \begin{Bmatrix} 0,3966 \\ 0,1731 \\ 0,5973 \\ 0,0738 \\ 1 \\ 0,1899 \end{Bmatrix} \quad (7)$$

## ۲. نتایج و بحث

در شکل ۴، نمودار همگرایی تابع هدف سازه‌ی ۳ طبقه در هرگام برای ۳ روش الگوریتم زتیک، اجتماع ذرات و آموزش و یادگیری مقایسه شده است، که مطابق آن، می‌توان به عملکرد بهتر و سرعت همگرایی بیشتر در الگوریتم‌های اجتماع ذرات و آموزش و یادگیری پی برد. همان‌طور که مشخص است، الگوریتم‌های اجتماع ذرات و آموزش و یادگیری به ترتیب در کمتر از ۶۰ و ۳۰ نسل عملاً به نتیجه‌ی مطلوب رسیده‌اند. این در حالی است که روش الگوریتم زتیک پس از گذشت بیش از حدوداً ۶۰ نسل به پاسخ نامطلوب‌تری نسبت به اجتماع ذرات و آموزش و یادگیری رسیده است. میزان تابع هدف در تکرار آخر به ازاء هر یک از الگوریتم‌های زتیک، اجتماع ذرات، و آموزش و یادگیری به ترتیب برابر  $8 \times 10^{-5}$ ،  $3 \times 10^{-5}$  و  $5 \times 10^{-5}$  بوده است. پس از شیان ذکر است که در اجرای مجدد هر یک از الگوریتم‌ها، ممکن است عملکرد روش‌های ذکر شده نسبت به یکدیگر تغییر کند. پس از چند بار اجرای الگوریتم‌ها، مقدار متوسط مدت زمان اجرای برنامه‌های الگوریتم زتیک، اجتماع ذرات و آموزش و یادگیری به ترتیب برابر ۳/۳۸، ۳/۷۶ و ۱/۹۲ ثانیه بوده است. این موضوع حاکی از سریع تر بودن روش آموزش و یادگیری در همگرایی است. همچنین، نتایج نشان داد که در تکرارهای متولی، روش‌های اجتماع ذرات و آموزش و یادگیری، عملکرد بهتری در حل مسئله مذکور داشته است. معیارهای آماری به دست آمده به ازاء ۵ بار اجرای هر یک از الگوریتم‌های ذکر شده شامل مقادیر کمترین، بیشترین، میانگین و انحراف معیار تابع هدف برای آنها در جدول ۷ ارائه شده‌اند.

مقادیر به دست آمده در روابط ۸ الی ۱۰، به ترتیب مقدار بسامد و مود شکل اول حاصل از الگوریتم‌های زتیک، اجتماع ذرات و آموزش و یادگیری برای سازه‌ی ۳ طبقه هستند. همان‌طور که مشخص است، هر سه روش با دقت بالایی به مقدار مطلوب (رابطه‌ی ۵) نزدیک هستند.



شکل ۴. نمودار همگرایی تابع هدف سازه‌ی ۳ طبقه.

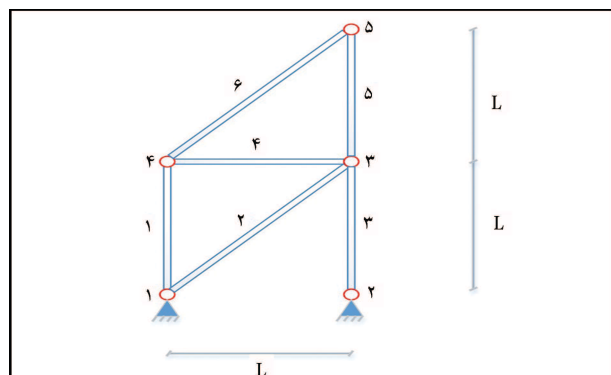
استفاده از ماتریس جرم و مود اول سازه با اندکی خطأ حاصل شود. جزئیات میران خطأ در بخش بحث و نتایج ارائه شده‌اند. سیستم پایش سلامت، بسامد طبیعی و شکل مودی اول سازه‌ی ۶ طبقه را پس از آنالیزهای بیان شده در بخش ۲.۱. مطابق رابطه‌ی ۶ گزارش داده است:

$$\omega = 9,9813 \text{ rad/s} \quad \{\varphi_1\} = \begin{Bmatrix} 0,2369 \\ 0,4561 \\ 0,6536 \\ 0,8140 \\ 0,9336 \\ 1 \end{Bmatrix} \quad (8)$$

### ۳.۵.۱. سازه‌ی خربایی

در پژوهش حاضر، برای تشکیل ماتریس جرم یک سازه‌ی خربایی ۶ طبقه، که ۶ المان دارد، مانند ماتریس سختی عمل شده است. درنتیجه، دربخش حاضر، ماتریس جرم، قطعی نیست و مسئله پیچیدگی بیشتری دارد. شکل شماتیک سازه‌ی خربایی در شکل ۳ مشاهده می‌شود. با فرض مجھول بودن سختی المان‌های خربایی در سازه‌ی خربایی، تعداد متغیرهای مسئله برابر تعداد المان‌های خربایی باشد. با عبارتی دیگر برابر با ۶ است. مشخصات مصالح و مقاطع این سازه در جدول ۶ ارائه شده است. پس از استفاده از الگوریتم‌های ذکر شده، سطح مقاطع در نظر گرفته شده با نتایج به دست آمده از الگوریتم‌ها به منظور بررسی دقت رویکرد ارائه شده مقایسه شده‌اند.

سیستم پایش سلامت، بسامد طبیعی، و شکل مودی اول سازه‌ی خربایی را پس از آنالیزهای بیان شده در بخش ۲.۱. مطابق رابطه‌ی ۷ گزارش داده است:



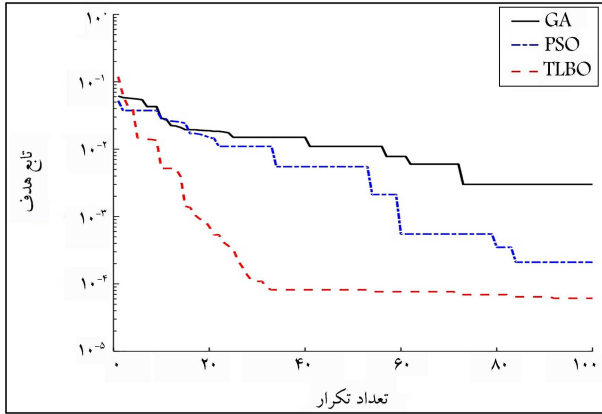
شکل ۳. شکل شماتیک سازه‌ی خربایی.

جدول ۶. مشخصات سازه‌ی خربایی.

المان	سطح مقطع ( $cm^2$ )	چگالی ( $ton/m^3$ )	مدول کشسانی ( $GPa$ )
۱	۲۲	۲/۵	۱۱/۳
۲	۳۵	۲/۵	۱۱/۳
۳	۱۹	۲/۵	۱۱/۳
۴	۱۰	۲/۵	۱۱/۳
۵	۲۰	۲/۵	۱۱/۳
۶	۱۶	۲/۵	۱۱/۳

جدول ۷. مقادیر کمترین، بیشترین، میانگین و انحراف معیار تابع هدف به ازاء هر الگوریتم در سازه‌ی ۳ طبقه.

الگوریتم	آموزش و یادگیری	اجتماع ذرات	ژنتیک	انحراف معیار	میانگین	بیشترین	کمترین
آموزش و یادگیری	$5 \times 10^{-6}$	$7/1 \times 10^{-6}$	$8 \times 10^{-5}$	$8/5 \times 10^{-5}$	$8/2 \times 10^{-5}$	$2 \times 10^{-6}$	
اجتماع ذرات	$3 \times 10^{-5}$	$4/3 \times 10^{-5}$	$3 \times 10^{-5}$	$2/6 \times 10^{-5}$	$6 \times 10^{-6}$	$6 \times 10^{-6}$	
ژنتیک							$2 \times 10^{-6}$



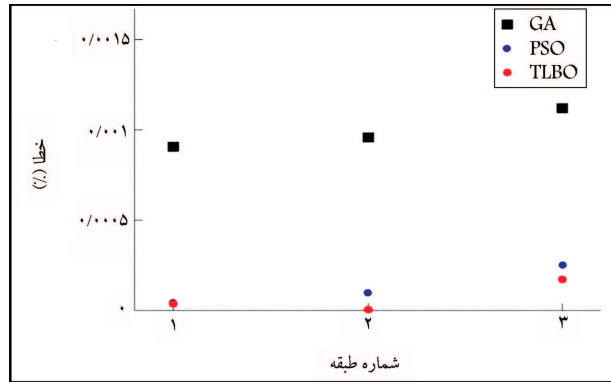
شکل ۶. نمودار همگرایی تابع هدف سازه‌ی ۶ طبقه.

کاهش یافته است. مطابق شکل ۶، الگوریتم آموزش و یادگیری بهترین عملکرد را داشته و پس از ۳۰ تکرار به جواب مطلوب رسیده است. الگوریتم اجتماع ذرات هم عملکرد قابل قبولی را نشان داده و بعد از ۸۰ تکرار به جواب دقیق نزدیک شده است. این در حالی است که الگوریتم ژنتیک حتی بعد از ۱۰۰ تکرار به دقت دو الگوریتم دیگر نرسیده است. میزان تابع هدف در تکرار آخر به ازاء هر یک از الگوریتم‌های ژنتیک، اجتماع ذرات، و آموزش و یادگیری به ترتیب برابر  $2 \times 10^{-3}$ ,  $3 \times 10^{-3}$ ,  $10^{-5}$  و  $10^{-6}$  بوده است.

مقدار متوسط مدت زمان اجرای هر یک از برنامه‌های الگوریتم ژنتیک، اجتماع ذرات، و آموزش و یادگیری به ترتیب برابر  $4,47$ ,  $4,47$ ,  $6,47$  و  $4,51$  ثانیه بوده است. این موضوع حاکی از سرعت تر بودن روش‌های ژنتیک و آموزش و یادگیری نسبت به اجتماع ذرات در همگرایی به پاسخ مطلوب است. معیارهای آماری بدست آمده به ازاء ۵ بار اجرای هر یک از الگوریتم‌های ذکر شده، شامل مقادیر کمترین، بیشترین، میانگین، و انحراف معیار تابع هدف برای هر سه الگوریتم ذکر شده در جدول ۸ خلاصه و ارائه شده‌اند.

مقادیر بدست آمده در روابط ۱۲ الی ۱۴، به ترتیب مقدار بسامد و مود شکل اول حاصل از الگوریتم‌های ژنتیک، اجتماع ذرات و آموزش و یادگیری برای سازه‌ی ۶ طبقه هستند. همان‌طورکه مشخص است، روش آموزش و یادگیری دقت بالاتری در بدست آوردن مقدار مطلوب (رابطه‌ی ۶) نسبت به سایر روش‌ها داشته است.

$$\omega = 9,9787 rad/s \quad \{\varphi_1\} = \begin{cases} 0,2363 \\ 0,4549 \\ 0,6516 \\ 0,8124 \\ 0,9328 \\ 1 \end{cases} \quad (12)$$



شکل ۵. نمودار درصد خطای بهترین پاسخ هر یک از الگوریتم‌ها در تعیین سختی طبقات سازه‌ی ۳ طبقه.

$$\omega = 16,5946 rad/s \quad \{\varphi_1\} = \begin{cases} 0,4123 \\ 0,7588 \\ 1 \end{cases} \quad (8)$$

$$\omega = 16,5999 rad/s \quad \{\varphi_1\} = \begin{cases} 0,4123 \\ 0,7588 \\ 1 \end{cases} \quad (9)$$

$$\omega = 16,6012 rad/s \quad \{\varphi_1\} = \begin{cases} 0,4123 \\ 0,7588 \\ 1 \end{cases} \quad (10)$$

به منظور مشخص شدن میران تطبیق نتایج با مقادیر دقیق، مقدار درصد خطای برای هر کدام از متغیرها با استفاده از رابطه‌ی ۱۱ محاسبه می‌شود:

$$Error(\%) = \frac{\|K - K^*\|}{K} \quad (11)$$

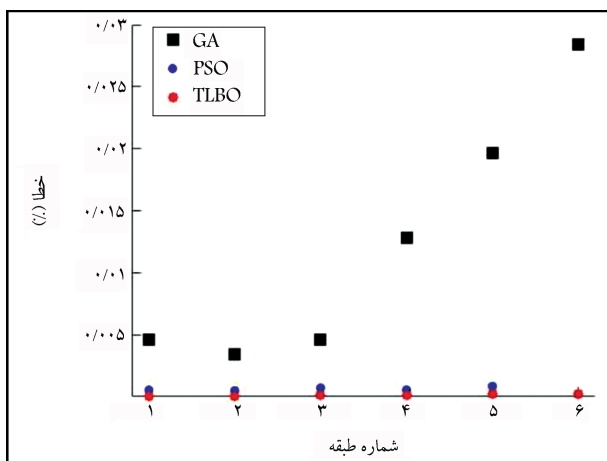
که در آن، مقادیر  $K^*$  و  $K$  به ترتیب برابر سختی به دست آمده توسط هر الگوریتم و سختی واقعی سازه هستند.

در شکل ۵، مقایسه‌ی درصد خطای بهترین پاسخ هر یک از روش‌ها در تعیین سختی طبقات مشاهده می‌شود، که مطابق آن، روش آموزش و یادگیری در تمام طبقات، کمترین خطای را در برآورد سختی داشته است. با استفاده از شکل ۵ می‌توان به خطای بیشتر در روش ژنتیک پی برد. این بدان معناست که برای جواب دقیق تر در روش الگوریتم ژنتیک نیاز به تعداد نسل بیشتری است، که نشان از زمان اجرای بیشتر و به تبع آن هزینه‌ی بالاتر است. بنابراین، در تعداد نسل برابر، روش آموزش و یادگیری عملکرد مطلوب‌تری دارد.

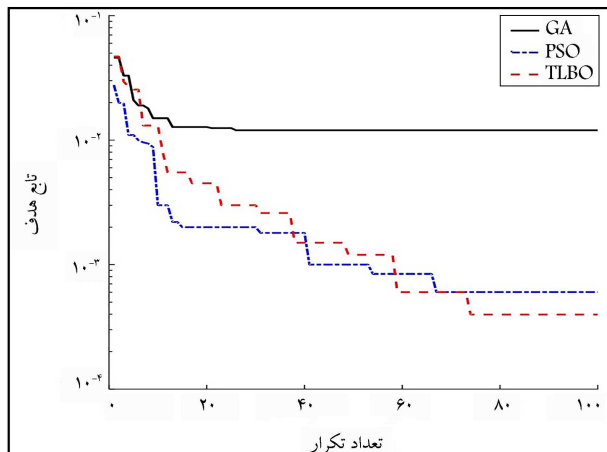
نمودار همگرایی تابع هدف برای سازه‌ی ۶ طبقه به ازاء الگوریتم‌های استفاده شده در شکل ۶ مشاهده می‌شود. از آنجایی که سازه‌ی ۶ طبقه در مقایسه با سازه‌ی ۳ طبقه، مجھولات بیشتری دارد، سرعت همگرایی تابع هدف در هر سه الگوریتم

جدول ۸. مقادیر کمترین، بیشترین، میانگین و انحراف معیار تابع هدف به ازاء هر الگوریتم در سازه‌ی ۶ طبقه.

الگوریتم	کمترین	بیشترین	میانگین	انحراف معیار
ژنتیک	$3 \times 10^{-3}$	$3/9 \times 10^{-3}$	$4 \times 10^{-4}$	$3/4 \times 10^{-3}$
اجتماع ذرات	$2 \times 10^{-4}$	$4/3 \times 10^{-4}$	$1/1 \times 10^{-4}$	$3/1 \times 10^{-4}$
آموزش و یادگیری	$6 \times 10^{-5}$	$1/1 \times 10^{-4}$	$1/8 \times 10^{-5}$	$8/6 \times 10^{-5}$



شکل ۷. نمودار درصد خطای بهترین پاسخ هر یک از الگوریتم‌ها در تعیین سختی طبقات سازه‌ی ۶ طبقه.



شکل ۸. نمودار همگرایی تابع هدف سازه‌ی خرپایی.

اول حاصل از الگوریتم‌های ژنتیک، اجتماع ذرات و آموزش و یادگیری برای سازه‌ی خرپایی هستند. همان‌طور که پیداست، روش آموزش و یادگیری دقت بالاتری در به دست آوردن مقدار مطلوب (رابطه‌ی ۷) نسبت به سایر روش‌ها دارد.

در شکل ۹، نمودار درصد خطای سطح مقطع المان‌های سازه‌ی خرپایی به ازاء هر سه الگوریتم ژنتیک، اجتماع ذرات و آموزش و یادگیری مشاهده شود. نکته‌ی قابل توجه، خطای قابل ملاحظه‌ی الگوریتم اجتماع ذرات به ازاء المان شماره‌ی ۵ است. اما روش آموزش و یادگیری در تعیین سختی تمام المان‌ها، خطای سیار کمی را نشان داده است. الگوریتم ژنتیک هم در المان‌های ۴، ۲ و ۵ خطای نسبتاً زیادی دارد، که نشان‌دهنده‌ی کارایی کمتر الگوریتم ژنتیک نسبت به دو الگوریتم دیگر است.

$$\omega = 9,9838 \text{ rad/s} \quad \{\varphi_1\} = \begin{cases} 0,2368 \\ 0,4563 \\ 0,6537 \\ 0,8140 \\ 0,9336 \\ 1 \end{cases} \quad (13)$$

$$\omega = 9,9813 \text{ rad/s} \quad \{\varphi_1\} = \begin{cases} 0,2369 \\ 0,4561 \\ 0,6536 \\ 0,8140 \\ 0,9336 \\ 1 \end{cases} \quad (14)$$

در شکل ۷، درصد خطای الگوریتم‌ها در محاسبه خطای سازه‌ی ۶ طبقه مشاهده می‌شود، که همانند سازه‌ی ۳ طبقه، در سازه‌ی ۶ طبقه نیز میران خطای الگوریتم ژنتیک از دو روش دیگر به مرتب بیشتر است.

در شکل ۸، مقایسه‌ی همگرایی ۳ الگوریتم برای سازه‌ی خرپایی مشاهده می‌شود، که مطابق آن، همچنان الگوریتم‌های اجتماع ذرات و آموزش و یادگیری با سرعت بیشتری نسبت به الگوریتم ژنتیک به جواب بهینه همگرا می‌شوند. اما الگوریتم ژنتیک حتی بعد از  $10^0$  تکرار هم خطای قابل ملاحظه‌ای دارد. شایان ذکر است که در این حالت ماتریس سختی، قطری نیست و پیچیدگی مسئله بسیار بیشتر است. میران تابع هدف در تکرار آخر به ازاء هر یک از الگوریتم‌های ژنتیک، اجتماع ذرات و آموزش و یادگیری به ترتیب برابر  $12 \times 10^{-4}$ ،  $5 \times 10^{-4}$  و  $4 \times 10^{-4}$  است.

پس از اجرای ۵ بار هر یک از الگوریتم‌های ژنتیک، اجتماع ذرات و آموزش و یادگیری، مقدار متوسط مدت زمان اجرای آنها به ترتیب برابر  $16,76$ ،  $15,73$  و  $12,76$  ثانیه بوده است. این موضوع حاکی از سریع تر بودن روش آموزش و یادگیری در همگرایی است. معیارهای آماری به دست آمده شامل مقادیر: کمترین، بیشترین، میانگین و انحراف معیار تابع هدف به ازاء ۵ بار اجرای هر یک از الگوریتم‌های مذکور در جدول ۹ خلاصه و ارائه شده‌اند.

همچنین در صورتی که تعداد نسل‌ها و یا جمعیت بیشتر در نظر گرفته شود، پاسخ به دست آمده به مرتب دقیق تر است. بنا براین به نظر می‌رسد که در استفاده از الگوریتم ژنتیک نیاز به جمعیتی بزرگ‌تر و یا تعداد نسل‌های بیشتر به منظور افزایش دقت است. برای مثال، به ازاء تعداد جمعیت برابر  $20^0$  و پس از ۵ بار اجرای برنامه، مقادیر کمترین تابع هدف در تکرار آخر به ازاء هر یک از الگوریتم‌های ژنتیک، اجتماع ذرات، و آموزش و یادگیری به ترتیب به مقادیر  $8 \times 10^{-4}$ ،  $5 \times 10^{-4}$  و  $2 \times 10^{-4}$  کاهش یافته است.

مقادیر به دست آمده در روابط ۱۵ الی ۱۷، به ترتیب مقدار بسامد و مود شکل

جدول ۹. مقادیر کمترین، بیشترین، میانگین و انحراف معیار تابع هدف به ازاء هر الگوریتم در سازه خرپایی.

الگوریتم	کمترین	بیشترین	میانگین	انحراف معیار
ژنتیک	۰,۰۱۲	۰,۰۲۳	۰,۰۱۷	$5 \times 10^{-3}$
اجتیاع ذرات	$6 \times 10^{-4}$	$9/2 \times 10^{-4}$	$7/6 \times 10^{-4}$	$1/6 \times 10^{-4}$
آموزش و یادگیری	$4 \times 10^{-4}$	$5/7 \times 10^{-4}$	$4/8 \times 10^{-4}$	$8 \times 10^{-5}$

اجتیاع ذرات نیز با سرعت مناسبی به پاسخ همگرا شده است. الگوریتم ژنتیک نتایج مناسبی را ارائه نداده است، به خصوص زمانی که تعداد مجھولات سازه افزایش یافته است. در سازه خرپایی، که ماتریس سختی قطری نبوده است، میزان خطای رویکرد استفاده شده به مرتب نسبت به دو سازه دیگر افزایش یافته است؛ در نتیجه جهت بهبود نتایج می‌توان از تعداد نسل و یا جمعیت بیشتری استفاده کرد. همچنین هر چه سازه‌ی موردنظر پیچیده‌تر باشد، افزایش نسل و یا جمعیت الگوریتم ضروری ترمی شود.

شایان ذکر است که در بهکارگیری رویکرد ارائه شده در پژوهش حاضر در مسائل پیچیده باید به این دو نکته توجه شود:

الف) جواب مسئله باید یکتا باشد؛

ب) در صورت بالابودن تعداد مجھولات، لزوم افزایش نسل و یا جمعیت الگوریتم جهت همگرایی مناسب‌تر الزامی است.

این موارد نیز برای مطالعات آتی پیشنهاد می‌شود:

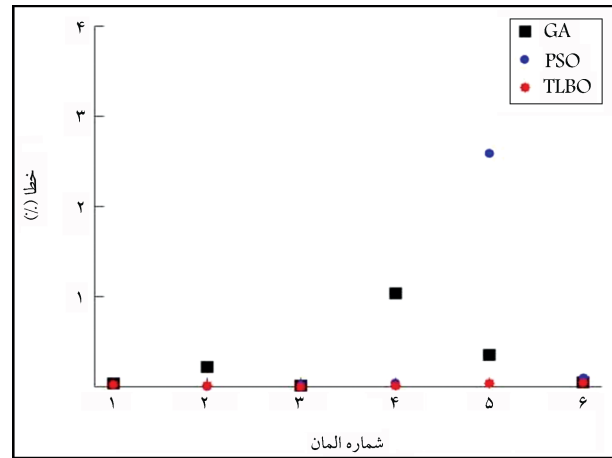
۱. کارایی روش موردنظر برای داده‌های مربوط به سازه‌های آزمایشگاهی و یا سازه‌های واقعی بررسی شود؛

۲. اثر میرایی در میزان درستی نتایج بررسی شود؛

۳. تابع هدف با در نظر گرفتن بسامدهای طبیعی و شکل‌های مودی بالاتر بررسی شود؛

۴. با استفاده از داده‌های خام خروجی، مانند شتاب و ارائه‌ی یک تابع هدف مناسب، محل و میزان آسیب در سازه‌ها تشخیص داده شود؛

۵. کارایی تابع هدفی مشکل از ترم‌های بسامد طبیعی و شکل‌های مودی با ضرایبی متفاوت از یک بررسی شود.



شکل ۹. نمودار درصد خطای بهترین پاسخ هر یک از الگوریتم‌ها در تعیین سطح مقطع المان‌های سازه خرپایی.

### ۳. نتیجه‌گیری

در پژوهش حاضر، به مقایسه‌ی دقت و سرعت همگرایی روش‌های فرآیندکاری مختلف در تعیین خصوصیات سازه، مانند: سختی المانها، سطح مقطع المانها وغیره با در دست داشتن مشخصات مودال سازه، نظر بسامد طبیعی و شکل مودی اول سازه پرداخته شده است. همچنین، ماتریس سختی سه سازه‌ی مختلف، شامل سازه‌های ۳ طبقه، ۶ طبقه و خرپایی ۶ المانی با استفاده از الگوریتم‌های فرآیندکاری ژنتیک، اجتیاع ذرات و آموزش و یادگیری با کمینه‌سازی تابع هدف تعیین شده است. بیشتر نتایج نشان می‌دهند که الگوریتم آموزش و یادگیری، بیشترین سرعت همگرایی به پاسخ بهینه را نسبت به سایر روش‌ها داشته است. این تذکر لازم است که الگوریتم

### پانوشت‌ها

1. Yuen
2. Bayesian Structural Model
3. Tiachacht
4. Genetic Algorithms
5. Li
6. Particle Swarm Optimization
7. Finite Element
8. Pérez-Ramírez
9. Bandara
10. Alexandrino
11. Modified Total Modal Assurance Criterion
12. Grey Wolf Optimization
13. Gradient-based Optimization
14. Slime Mold Algorithm
15. Marine Predators Algorithm
16. Ant Lion Optimizer
17. Whale Optimization Algorithm
18. Grasshopper Optimization Algorithm
19. Modal Assurance Criterion
20. Natural Frequency Vector Assurance Criterion
21. Guangzhou TV Tower

22. YiFei
23. K-means Clustering Optimizer
24. Sparse Polynomial Chaos Expansion Model
25. Kumar
26. Non-Dominated Sorting
27. Teaching-Learning-Based Optimization
28. Frequency Domain Decomposition
29. Singular Value Decomposition
30. Power Spectral Density
31. Setup
32. Overdetermined
33. John Holland
34. Deric Goldberg
35. National Selection
36. Cross-OVER
37. Mutation
38. Pairing From Top To Bottom
39. Random Pairing
40. Weighted Random Pairing
41. Chipperfield
42. MATLAB
43. Rao

## مراجع (References)

1. Natke, H.G. and Yao, J.T., 2013. *Structural Safety Evaluation Based on System Identification Approaches: Proceedings of the Workshop at Lambrecht/Pfalz*. Springer-Verlag. <https://doi.org/10.1007/978-3-663-05657-7>.
2. Mehrjoo, M., Khaji, N., Moharrami, H. and Bahreininejad, A., 2008. Damage detection of truss bridge joints using artificial neural networks. *Expert Systems With Applications*, 35(3), pp.1122-1131. <https://doi.org/10.1016/j.eswa.2007.08.008>.
3. Rao, A.R.M., Lakshmi, K. and Venkatachalam, D., 2012. Damage diagnostic technique for structural health monitoring using POD and self adaptive differential evolution algorithm. *Computers & Structures*, 106, pp.228-244. <https://doi.org/10.1016/j.compstruc.2012.05.009>.
4. Yan, W.J., Huang, T.L. and Ren, W.X., 2010. Damage detection method based on element modal strain energy sensitivity. *Advances in Structural Engineering*, 13(6), pp.1075-1088. <https://doi.org/10.1260/1369-4332.13.6.1075>.
5. Vafaei, M., Adnan, A.B. and Abd. Rahman, A.B., 2013. Real-time seismic damage detection of concrete shear walls using artificial neural networks. *Journal of Earthquake Engineering*, 17(1), pp.137-154. <https://doi.org/10.1080/13632469.2012.713559>.
6. Mortezaei, A. and Ronagh, H.R., 2011. An artificial neural network model for dynamic analysis of RC buildings subjected to near-fault ground motions having forward directivity. *Journal of Seismology and Earthquake Engineering*, 13(3 and 4), pp.179-194.
7. Bao, Y., Li, H., An, Y. and Ou, J., 2012. Dempster-Shafer evidence theory approach to structural damage detection. *Structural Health Monitoring*, 11(1), pp.13-26. <https://doi.org/10.1177/1475921710395813>.
8. Cowled, C.J., Thambiratnam, D.P., Chan, T.H. and Tan, A.C., 2014. Structural complexity in structural health monitoring: design of laboratory model and test plan. In *Proceedings of the 7th World Congress on Engineering Asset Management (WCEAM 2012)* (pp. 171-181). Cham: Springer International Publishing. [https://doi.org/10.1007/978-3-319-06966-1\\_17](https://doi.org/10.1007/978-3-319-06966-1_17).
9. Weber, B. and Paultre, P., 2010. Damage identification in a truss tower by regularized model updating. *Journal of structural engineering*, 136(3), pp.307-316. [https://doi.org/10.1061/\(ASCE\)ST.1943-541X.0000105](https://doi.org/10.1061/(ASCE)ST.1943-541X.0000105).
10. Heywood, R., Roberts, W., Taylor, R. and Andersen, R., 2000. Fitness-for-purpose evaluation of bridges using health monitoring technology. *Transportation Research Record*, 1696(1), pp.193-201. <https://doi.org/10.3141/1696-23>.
11. Krämer, C., De Smet, C.A.M. and De Roeck, G., 1999. February Z24 bridge damage detection tests. In *IMAC 17, the International Modal Analysis Conference (Vol. 3727, pp.1023-1029)*. Society of Photo-optical Instrumentation Engineers.
12. Maeck, J. and De Roeck, G., 2003. Description of Z24 benchmark. *Mechanical Systems and Signal Processing*, 17(1), pp.127-131. <https://doi.org/10.1006/mssp.2002.1548>.
13. Sohn, H., Czarnecki, J.A. and Farrar, C.R., 2000. Structural health monitoring using statistical process control. *Journal of Structural Engineering*, 126(11), pp.1356-1363. [https://doi.org/10.1061/\(ASCE\)0733-9445\(2000\)126:11\(1356\)](https://doi.org/10.1061/(ASCE)0733-9445(2000)126:11(1356)).
14. Barraza, J.F., Drogue, E.L., Naranjo, V.M. and Martins, M.R., 2020. Capsule Neural Networks for structural damage localization and quantification using transmissibility data. *Applied Soft Computing*, 97, p.106732. <https://doi.org/10.1016/j.asoc.2020.106732>.
15. Meruane, V., 2016. Online sequential extreme learning machine for vibration-based damage assessment using transmissibility data. *Journal of Computing in Civil Engineering*, 30(3), p.04015042. [https://doi.org/10.1061/\(ASCE\)CP.1943-5487.0000517](https://doi.org/10.1061/(ASCE)CP.1943-5487.0000517).
16. Yuen, K.V., Beck, J.L. and Katafygiotis, L.S., 2006. Efficient model updating and health monitoring methodology using incomplete modal data without mode matching. *Structural Control and Health Monitoring: The Official Journal of the International Association for Structural Control and Monitoring and of the European Association for the Control of Structures*, 13(1), pp.91-107. <https://doi.org/10.1002/stc.144>.
17. Tiachacht, S., Bouazzouni, A., Khatir, S., Behtani, A., Zhou, Y.L.M. and Wahab, M.A., 2018. Structural health monitoring of 3D frame structures using finite element modal analysis and genetic algorithm. *Journal of Vibroengineering*, 20(1), pp.202-214. <https://doi.org/10.21595/jve.2017.18571>.
18. Li, X.L., Serra, R. and Olivier, J., 2021. Performance of fitness functions based on natural frequencies in defect detection using the standard PSO-FEM approach. *Shock and Vibration*, 2021(1), p.8863107. <https://doi.org/10.1155/2021/8863107>.
19. Perez-Ramirez, C.A., Jaen-Cuellar, A.Y., Valtierra-Rodriguez, M., Dominguez-Gonzalez, A., Osornio-Rios,

- R.A., Romero-Troncoso, R.D.J. and Amezquita-Sanchez, J.P., 2017. A two-step strategy for system identification of civil structures for structural health monitoring using wavelet transform and genetic algorithms. *Applied Sciences*, 7(2), p.111. <https://doi.org/10.3390/app7020111>.
20. Bandara, R.P., Chan, T.H. and Thambiratnam, D.P., 2014. Structural damage detection method using frequency response functions. *Structural Health Monitoring*, 13(4), pp.418-429. <https://doi.org/10.1177/1475921714522847>.
21. Alexandrino, P.D.S.L., Gomes, G.F. and Cunha Jr, S.S., 2020. A robust optimization for damage detection using multiobjective genetic algorithm, neural network and fuzzy decision making. *Inverse Problems in Science and Engineering*, 28(1), pp.21-46. <https://doi.org/10.1080/17415977.2019.1583225>.
22. Ghannadi, P., Khatir, S., Kourehli, S.S., Nguyen, A., Bouthicha, D. and Wahab, M.A., 2023. April. Finite element model updating and damage identification using semi-rigidly connected frame element and optimization procedure: An experimental validation. *In Structures*, 50, pp.1173-1190. Elsevier. <https://doi.org/10.1016/j.istruc.2023.02.008>.
23. Ghannadi, P. and Kourehli, S.S., 2022. Efficiency of the slime mold algorithm for damage detection of large-scale structures. *The Structural Design of Tall and Special Buildings*, 31(14), p.e1967. <https://doi.org/10.1002/tal.1967>.
24. YiFei, L., Minh, H.L., Khatir, S., Sang-To, T., Cuong-Le, T., MaoSen, C. and Wahab, M.A., 2023. Structure damage identification in dams using sparse polynomial chaos expansion combined with hybrid K-means clustering optimizer and genetic algorithm. *Engineering Structures*, 283, p.115891. <https://doi.org/10.1016/j.engstruct.2023.115891>.
25. Bui, Q.A.T., Al-Ansari, N., Le, H.V., Prakash, I. and Pham, B.T., 2022. Hybrid model: Teaching learning-based optimization of artificial neural network (TLBO-ANN) for the prediction of soil permeability coefficient. *Mathematical Problems in Engineering*, 2022(1), p.8938836. <https://doi.org/10.1155/2022/8938836>.
26. Khoja, I., Ladhari, T., M'sahli, F. and Sakly, A., 2022. Teaching-learning-based optimization for parameter identification of an activated sludge process model. *Mathematical Models and Computer Simulations*, 14(3), pp.516-531. <https://doi.org/10.1134/S2070048222030085>.
27. Muther, T., Syed, F.I., Dahaghi, A.K. and Negahban, S., 2022. Socio-inspired multi-cohort intelligence and teaching-learning-based optimization for hydraulic fracturing parameters design in tight formations. *Journal of Energy Resources Technology*, 144(7), p.073201. <https://doi.org/10.1115/1.4052182>.
28. Kumar, S., Tejani, G.G., Pholdee, N., Bu-reerat, S. and Jangir, P., 2022. Multi-objective teaching-learning-based optimization for structure optimization. *Smart Science*, 10(1), pp.56-67. <https://doi.org/10.1080/23080477.2021.1975074>.
29. Goldberg, D.E., Korb, B. and Deb, K., 1989. Messy genetic algorithms: Motivation, analysis, and first results. *Complex Systems*, 3(5), pp.493-530.
30. Holland, J.H., 1992. Adaptation In Natural and Artificial Systems: An Introductory Analysis With Applications to Biology, Control, and Artificial Intelligence. MIT press. <https://doi.org/10.7551/mitpress/1090.001.0001>.
31. Clerc, M., 2010. *Particle Swarm Optimization* (Vol. 93). John Wiley & Sons. <https://doi.org/10.1002/9780470612163>.
32. Rao, R.V. and Rao, R.V., 2016. Teaching-learning-based optimization algorithm (pp. 9-39). Springer International Publishing. <https://doi.org/10.1007/978-3-319-22732-0>.
33. Rao, R.V., Savsani, V.J. and Vakharia, D.P., 2011. Teaching-learning-based optimization: A novel method for constrained mechanical design optimization problems. *Computer-Aided Design*, 43(3), pp.303-315. <https://doi.org/10.1016/j.cad.2010.12.015>.
34. Zienkiewicz, O.C., Taylor, R.L. and Zhu J.Z. 2005. The finite element method: Its basis and fundamentals. Elsevier. <https://doi.org/10.1016/C2009-0-24909-9>.
35. Chopra, A.K., 2007. Dynamics of structures. Pearson Education India.
36. Figueiredo, E., Park, G., Figueiras, J., Farrar, C. and Worden, K., 2009. Structural health monitoring algorithm comparisons using standard data sets (No. LA-14393). Los Alamos National Lab.(LANL), Los Alamos, NM (United States). <https://doi.org/10.2172/961604>.
37. Brincker, R., Zhang, L. and Andersen, P., 2000. Modal identification from ambient responses using frequency domain decomposition. *In IMAC 18: Proceedings of the International Modal Analysis Conference (IMAC)*, San Antonio, Texas, USA, February 7-10, 2000 (pp.625-630).
38. Mitchell, M., 1998. *An Introduction to Genetic Algorithms*. MIT press.
39. Chipperfield, A.J., Fleming, P.J., Pohlheim, H. and Fonseca, C.M., 1994, September. A genetic algorithm toolbox for MATLAB. *In Proceedings of the International Conference on Systems Engineering*. pp.200-207.